

Radiação de Cherenkov 2

Eletromagnetismo II (4302304)

Prof. Ricardo A. Terini

E-mail: <u>rterini@if.usp.br</u>

Bloco F – Conjunto Alessandro Volta – sl. 105

LDRFM – IF-USP

13

14

- · 1^a. Parte: Novos comentários sobre a questão 1 da Prova P2
 - · 2ª. Parte: Radiação de Cherenkov 2

15

Radiação de Cherenkov. O que é

Recordando

The Nobel Prize in Physics 1958



 Radiação de Cherenkov num reator de piscina.







Il'ja Mikhailovich Frank



Igor Yevgenyevich Tamm

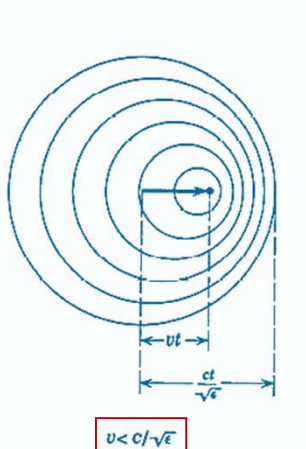
- Cherenkov observou a luminescência azul anisotrópica de soluções de uranila, excitadas por raios gama.
- Verificou-se que a radiação era polarizada na direção do feixe de raios gama usado na excitação, e que era produzida pelos elétrons liberados pelos raios gama.

15

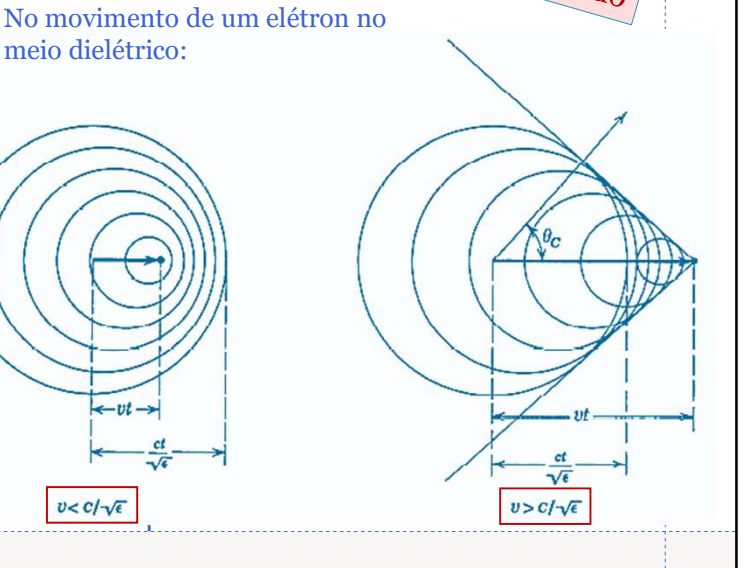


Recordando

- Se $v < c/n = c/\sqrt{\varepsilon_r}$, as frentes de onda radiadas não se superpõem e viajam mais rápido que a partícula.
- Se $v > c/n = c/\sqrt{\varepsilon_r}$, a partícula ultrapassa a frente de onda radiada, e deixa para trás uma sucessão de ondas esféricas que, por interferência construtiva, formam um contorno cônico (onda de choque).



meio dielétrico:



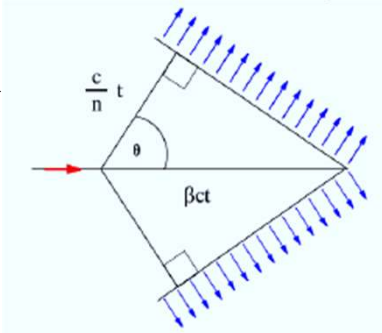
Recordando

- P/ $v > {^c}/{_n} = {^c}/{_{\sqrt{\varepsilon_r}}}$, essas frentes de ondas cônicas se propagam num ângulo θ_C com a direção do movimento da partícula.
- Assim, o ângulo θ_C entre a normal às frentes de onda e a velocidade da partícula é definido por

$$\cos \theta_C = c/nv = 1/\beta_n$$
, sendo $\beta_n = nv/c$

... que só é real se v > c/n.

• Em alguns casos, o ângulo θ_C pode ser medido, permitindo a *identificação de partículas* a partir da determinação da *velocidade* e do *momento*.



Questão: As eqs. de Maxwell não demonstram que cargas com velocidade constante não irradiam no vácuo

17

Radiação de Cherenkov. Análise teórica

18

- Vimos que partículas movendo-se no vácuo com velocidade constante não irradiam...
- O campo B e o vetor de Poynting diminuem rapidamente com a distância r
 e não contribuem com o fluxo a grandes distâncias.
- A situação será diferente se a partícula estiver se movendo num **meio dielétrico** tal que $\varepsilon > \varepsilon_0$ ($\varepsilon_r > 1$).
- Por simplicidade, vamos supor que esse meio tenha $\mu \cong \mu_0$.
- Aplicando o operador D'Alembertiano nas equações de onda inomogêneas no calibre de Lorentz, para esse caso, teremos, por exemplo:

$$\therefore \quad \Box \mathbf{A} = \nabla^2 \mathbf{A} - \mu \varepsilon \frac{\partial^2 \mathbf{A}}{\partial t^2} = -\mu \mathbf{J} \quad \rightarrow \quad \nabla^2 \mathbf{A} - \frac{\mathbf{n}^2}{c^2} \frac{\partial^2 \mathbf{A}}{\partial t^2} = -\mu \mathbf{J}$$

...já que $v = \frac{1}{\sqrt{\mu \varepsilon}} = \frac{c}{n}$ é a velocidade da radiação no meio, de *índice de refração* **n**.

• Então, para esse meio material,

$$\Box \mathbf{A} = \nabla^2 \mathbf{A} - \frac{\mathbf{n}^2}{\mathbf{c}^2} \frac{\partial^2 \mathbf{A}}{\partial t^2} = -\mu \, \mathbf{J}_f \quad , \quad \text{sendo } \mathbf{v} = \frac{1}{\sqrt{\mu \varepsilon}} = \frac{c}{\mathbf{n}}$$

$$\mathbf{e} \quad \Box \mathbf{V} = \nabla^2 \mathbf{V} - \frac{\mathbf{n}^2}{\mathbf{c}^2} \frac{\partial^2 \mathbf{V}}{\partial t^2} = -\frac{\rho_f}{\varepsilon} / \varepsilon$$

- ρ_f e \mathbf{J}_f são produzidas por uma partícula carregada atravessando o meio rapidamente.
- As soluções possíveis deverão ser as mesmas obtidas para o vácuo, apenas substituindo os valores de \boldsymbol{v} e \boldsymbol{n} para o meio e a radiação, e considerando o tempo retardado como $\boldsymbol{t_r} = \boldsymbol{t} \frac{r \, n}{c}$.
- Elas devem ser compatíveis com os potenciais de Liénard-Wiechert, no calibre de Lorentz.

19

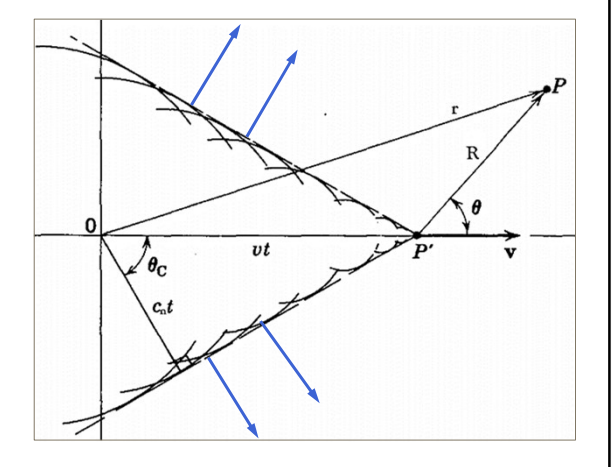
Radiação de Cherenkov. Análise teórica

20

- A fig. representa as ondas produzidas pela partícula e as frentes de onda da radiação de Cherenkov. Sejam:
- **r**... Vetor da posição retardada (em t_r) até P.
- $\mathbf{R} = \mathbf{r} \mathbf{v}(\mathbf{t} \mathbf{t}_r)$... Vetor da posição presente (em t) até P (p/ \mathbf{v} constante).
- Os potenciais que seriam produzidos em P, no instante t são :

$$V(\mathbf{r},t) = \frac{1}{4\pi\varepsilon} \left[\frac{q}{R - \beta_n \cdot \mathbf{R}} \right]$$

e $\mathbf{A}(\mathbf{r},t) = \frac{\mu}{4\pi} \left[\frac{q\mathbf{v}}{R - \beta_n \cdot \mathbf{R}} \right]$



• O tempo retardado (t_{ret} ou t_r) pode ser obtido por:

$$t_{\text{ret}} - t = \frac{R(t_{\text{ret}})}{c_n}, = \frac{\mathbf{r} - \mathbf{v}(t - tr)}{c_n}$$

• Elevando ao quadrado e calculando t_r:

$$t - t_r = \frac{-\mathbf{v} \cdot \mathbf{R} \pm \sqrt{(\mathbf{v} \cdot \mathbf{R})^2 - (v^2 - c_n^2)R^2}}{v^2 - c_n^2} \ge 0$$

 Se v > c_n (Cherenkov), as soluções são reais e positivas somente se:

$$\mathbf{v} \cdot \mathbf{R} < 0$$
 e $(\mathbf{v} \cdot \mathbf{R})^2 > (v^2 - c_0^2)R^2$.



• Isso só ocorre caso $\theta > \frac{\pi}{2}$ e se $\cos^2\theta > 1 - \frac{1}{\beta_n^2} \rightarrow \cos\theta > -\left(1 - \frac{1}{\beta_n^2}\right)^{1/2}$

21

Radiação de Cherenkov. Análise teórica

22

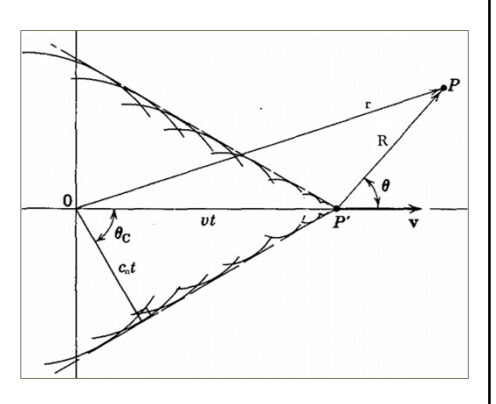
• Assim, haverá 2 soluções possíveis se:

$$\cos^{-1}\left[-\left(1-\frac{1}{\beta_n^2}\right)^{\frac{1}{2}}\right]<\theta<\pi$$

- Essa condição define o cone de Cherenkov.
- Nessas condições, os potenciais de Liénard-Wiechert, dentro do cone, serão:

$$V(\mathbf{r},t) = \frac{1}{2\pi\epsilon} \frac{q}{R(1-\beta_n^2 \sin^2\theta)^{1/2}}$$

$$\mathbf{e} \quad \mathbf{A}(\mathbf{r},t) = \frac{\mu}{2\pi\epsilon} \frac{q\mathbf{v}}{R(1-\beta_n^2 \sin^2\theta)^{1/2}}$$



- Esses potenciais são válidos dentro do cone de Cherenkov, mas tornam-se uma singularidade na superfície do cone ($1 \cos^2\theta = \frac{1}{\beta_n^2}$) e não existem fora dele.
- Representam uma onda viajando na direção de $\theta_{\rm c}$ com velocidade c/n.

23

Radiação de Cherenkov. Análise teórica

• Com os potenciais, pode-se, então, determinar os campos **E** e **B** e calcular o vetor de Poynting e a potência irradiada...

$$\mathbf{E} = -\nabla V - \frac{\partial \mathbf{A}}{\partial t}, \quad \mathbf{B} = \nabla \times \mathbf{A}.$$

• No interior do cone de Cherenkov, os campos serão:

$$\therefore \quad \mathbf{E} = -\frac{q}{2\pi\epsilon} \frac{(\beta_n^2 - 1)\hat{\mathbf{R}}}{R^2(1 - \beta_n^2 \sin^2 \theta)^{3/2}} \quad \mathbf{e} \quad \mathbf{B} = \frac{\mathbf{v}}{c_n^2} \sin \theta (-\hat{\boldsymbol{\theta}} \times \mathbf{E}).$$

- As expressões dos campos apresentam descontinuidade quando $\theta = \theta_{\rm C}$.
- Essa singularidade pode ser suavizada se se leva em conta que, num dielétrico dispersivo, $\varepsilon = \varepsilon(\omega)$ e $\therefore n = n(\omega)$.
- Nesse caso, é melhor fazer a análise no *espaço de Fourier*.

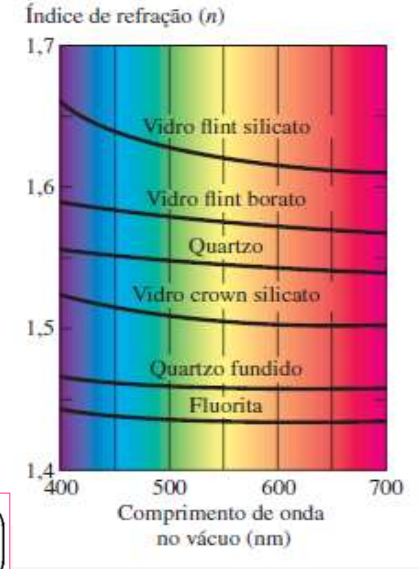
23

Radiação de Cherenkov. Análise teórica

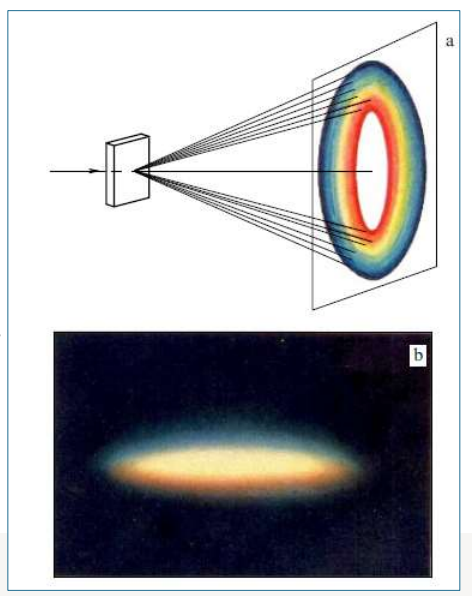
24

- Sabe-se que
- $n \equiv \sqrt{\frac{\epsilon \mu}{\epsilon_0 \mu_0}}$
- No caso do dielétrico considerado, $n \cong \sqrt{\varepsilon_r}$ que, além do meio, é também uma função de λ .
- Assim, a permissividade ε e a permeabilidade μ do meio e : a velocidade $\mathbf{v} = c/n$ da onda no meio dependem da frequência.
- Isso torna o meio **dispersivo**. Ex.: vidro, água.
- A dispersão depende de como ε_r e, \therefore , n variam com o comprimento de onda.
- Na radiação de Cherenkov, então, o ângulo θ_C também dependerá da frequência:

 $\theta_{C} = \cos^{-1}\left(\frac{1}{\beta n}\right)$



- A fig. (a) representa a montagem (~1950) de um experimento realizado por V. P. Zrelov.
- Um feixe de prótons de 660 MeV incide numa placa transparente perpendicular, produzindo radiação ao passar pela placa.
- A velocidade do próton, na placa, é maior do que a velocidade de fase *c/n* das ondas radiadas.
- Todos os ângulos das frentes de radiação estão confinados entre duas superfícies cônicas.
- A fig. (b) representa uma foto da base dos cones, com um filme colorido.



25

Radiação de Cherenkov. Análise teórica

 A descontinuidade abrupta do sinal eletromagnético na borda do cone de Mach, indica uma ampla faixa de largura espectral Δω de frequências.

• Para obter a transformada de Fourier, usa-se a regra usual (e sua inversa):

Ex.:
$$F(\mathbf{x}, t) = \frac{1}{(2\pi)^2} \int d^3k \int d\omega F(\mathbf{k}, \omega) e^{i\mathbf{k}\cdot\mathbf{x}-i\omega t}$$

• Resumo: Aplicando-se a transformada de Fourier, as equações de onda e os respectivos potenciais Φ e \mathbf{A} obtidos serão:

$$\vdots \begin{bmatrix} k^2 - \frac{\omega^2}{c^2} \, \epsilon(\omega) \end{bmatrix} \Phi(\mathbf{k}, \, \omega) = \frac{4\pi}{\epsilon(\omega)} \, \rho(\mathbf{k}, \, \omega) \longrightarrow \Phi(\mathbf{k}, \, \omega) = \frac{2ze}{\epsilon(\omega)} \cdot \frac{\delta(\omega - \mathbf{k} \cdot \mathbf{v})}{k^2 - \frac{\omega^2}{c^2} \, \epsilon(\omega)} \\
\begin{bmatrix} k^2 - \frac{\omega^2}{c^2} \, \epsilon(\omega) \end{bmatrix} \mathbf{A}(\mathbf{k}, \, \omega) = \frac{4\pi}{c} \, \mathbf{J}(\mathbf{k}, \, \omega) \longrightarrow \mathbf{A}(\mathbf{k}, \, \omega) = \epsilon(\omega) \, \frac{\mathbf{v}}{c} \, \Phi(\mathbf{k}, \, \omega)$$

• \mathbf{k} , ω :...da onda irradiada; z, \mathbf{v} :...da partícula com vel. constante

• Das definições dos potenciais, obtemos a transf. de Fourier dos campos:

$$\mathbf{E}(\mathbf{k},\,\omega) = i \left[\frac{\omega \, \epsilon(\omega)}{c} \, \frac{\mathbf{v}}{c} - \mathbf{k} \right] \Phi(\mathbf{k},\,\omega) \quad \mathbf{e} \quad \mathbf{B}(\mathbf{k},\,\omega) = i \, \epsilon(\omega) \mathbf{k} \, \times \frac{\mathbf{v}}{c} \, \Phi(\mathbf{k},\,\omega)$$

• A transformada de Fourier de E no tempo, por exemplo, será:

$$\therefore \quad \mathbf{E}(\omega) = \frac{1}{(2\pi)^{3/2}} \int d^3k \ \mathbf{E}(\mathbf{k}, \, \omega) e^{ibk_2}$$

- E(ω), após ser determinado, será útil para achar o espectro da radiação.
- Então, a energia irradiada por unidade de área e tempo (S) será:

$$\frac{d^2 U_{rad}}{d\omega dA} = \frac{\epsilon c_n}{\pi} |\mathbf{\hat{E}}(\omega)|^2$$

27

Radiação de Cherenkov. Análise teórica

• Em geral, se analisa a distribuição espectral por unidade de comprimento:

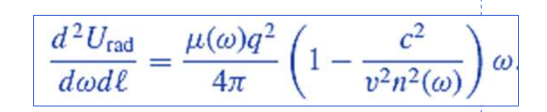
$$\frac{d^2 U_{\text{rad}}}{d\omega d\ell} = \frac{\mu(\omega)q^2}{4\pi} \left(1 - \frac{c^2}{v^2 n^2(\omega)} \right) \omega.$$

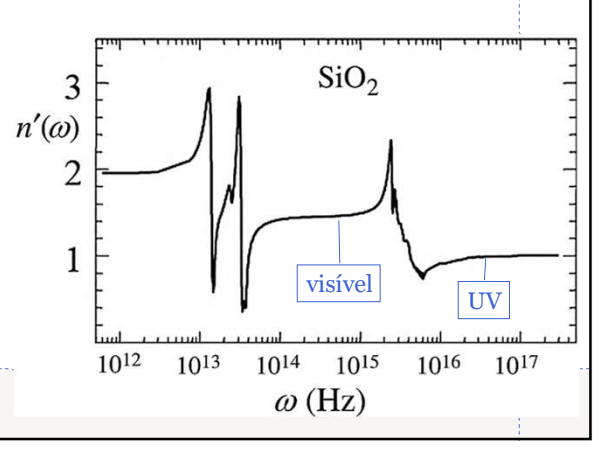
- ...que é fisicamente significativa se o parênteses for > 0. Para isso, $v > c/n(\omega)$.
- Assim, a radiação de Cherenkov aparece azulada porque a energia irradiada cresce com a frequência ω.
- Integrando a energia irradiada em todas as frequências, tem-se:

$$\left(\frac{dE}{dx}\right)_{\rm rad} = \frac{(ze)^2}{c^2} \int_{\epsilon(\omega) > (1/\beta^2)} \omega \left(1 - \frac{1}{\beta^2 \epsilon(\omega)}\right) d\omega$$

• Esse resultado foi publicada por Frank e Tamm em 1937.

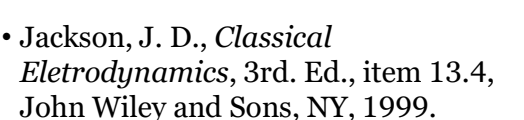
- A maioria dos dielétricos transparentes possuem um *índice de refração que não varia muito com a frequência na parte visível do espectro*, por isso podese afirmar que a luz emitida é *azul*.
- Confirma-se isso vendo o gráfico da figura, que mostra um exemplo de dielétrico transparente (SiO₂).
- Muito além dessa frequência, na faixa do UV, não há emissão de radiação, pois n < 1 e assim, nessa faixa, não existe θ_c real que satisfaz a equação.

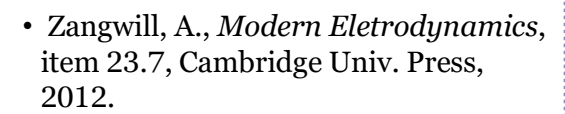




29

Radiação de Cherenkov. Referências





 Bolotovskii, B.D., Vavilov-Cherenkov radiation: its discovery and application, Physics - Uspekhi 52 (11) 1099 – 1110, Russian Academy of Sciences, 2009.

